

日本大学工学部 正員 木村喜代治

一様な条件のもとに存在する河川の蛇行は滑らかで規則的な形状をなしている。この蛇行形状に関する理論のうち Langbein と Leopold¹⁾ によるとそれが Hydrostatic catenary, Elastica²⁾ などの形状と全く相似であり、また单振子の運動と相似であることを述べる。

Langbein と Leopold は、河川の蛇行は流速、水深、水路幅、河床抵抗、水路勾配などが相互に影響し、これらの因子は流量および流砂量に順応するよう調節しつつ安定に何がう結果であると考えた。そしてある流域の場における二点の間には種々な経路があり得るが、蛇行の平面形状はすべてこの取り得る経路のうちで最も起り得る経路を占めると考えた。そしてその経路は von Schelling³⁾

による平板上に確率的に運動する粒子の軌跡としての最頻経路のうちの一種であるとした。その結果下記式を示した

$$\frac{1}{\sigma^2} \left(\frac{d\theta}{ds} \right)^2 - 2 \cos \theta = 2 \alpha \quad (1)$$

σ : 曲線の長さ, σ : ds に対する偏角 $d\theta$ の標準偏差, θ : 曲線の切線と X 軸とのなす角, α : 積分定数で $\alpha = \cos \omega$ である

$$\alpha = \frac{1}{\sigma} \int \frac{d\theta}{\sqrt{2(\cos \theta - \cos \omega)}} \quad (2)$$

Langbein と Leopold はこれを近似化して sine generated curve と名付け、米国の諸河川や Friedkin の実験などについて検討し、式と実際とがよく一致していることを示している。

一方、水路底の横断面において張力のみ作用するときの水路断面形状は Hydrostatic catenary である。形状は

$$x = - \int_a^b \frac{(y^2 - b^2) dy}{\sqrt{(a^2 - b^2)^2 - (y^2 - b^2)^2}}$$

を解くことにより示されている⁴⁾。いま Fig. 2 のように考え、力の平衡より $\alpha = f(\theta)$ として表わすと

$$\frac{T}{zw} \left(\frac{d\theta}{ds} \right)^2 - \cos \theta + \cos \omega = 0 \quad (3)$$

T : 単位幅に作用する張力, w : 水の単位重量。よって α につき解き、式(2)と比較すると $1/\sigma$ が $\sqrt{T/w}$ に相当することがわかる。

さらに、直線でねじれのない細い棒の両端に一对の平衡せる力が作用したとき、または一对の平衡せる力と偶力の作用したときに形成される棒の曲線は Elastica と言われている。両端に力のみ作用している場合は

$$\left(\frac{d\theta}{ds} \right)^2 = \frac{2P}{EI} (\cos \theta - \cos \omega) \quad (4)$$

P : 力, E : 弾性係数, I : 断面二次モーメント。この式と式(2)とを比べると $1/\sigma$ が $\sqrt{EI/P}$ に置き換えただけであることがわかる。

また Elastica の式が单振子の運動式に相似であることはよく知られており、单振子の運動式は

$$\left(\frac{d\theta}{dt} \right)^2 = \frac{2g}{l} (\cos \theta - \cos \omega) \quad (5)$$

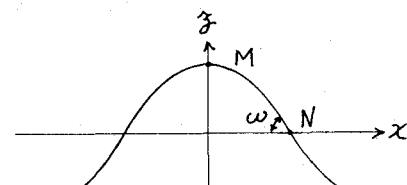


Fig. 1

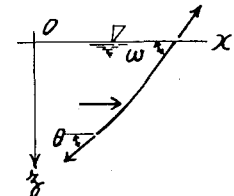


Fig. 2

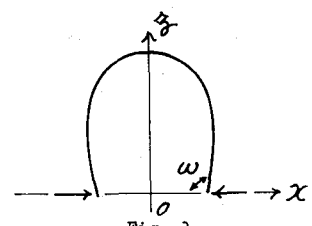


Fig. 3

t : 時間, l : 振子の長さ, g : 重力の加速度。この式と式(2)とは全く同型であることがわかる。

$$\text{Fig. 1 で } \alpha=0 \text{ を M 点とすれば, 式(2)は } (1/\alpha=M \text{ とすると}) \quad x=\mu F(\phi, R) \quad (6)$$

F : 第一種の円内積分, $\sin(\omega/2)=R$, $\sin(\theta/2)=R \sin \phi$ 。

このように Langbein と Leopold によると

河川の蛇行形状を示す平面曲線は Hydrostatic

catenary, Elastica などの形状と全く

相似であり、また单振子と運動学上相似である

ことがわかる。

Hydrostatic curve の種々の曲線(

Fig. 4⁴⁾のうち、河川蛇行に関係あると思われ

る $x=f(y)$ は次の通りである

$$x=a\sqrt{\frac{1}{2(1-\alpha)}}\left\{2E(\phi, R)-F(\phi, R)\right\} \quad (7)$$

$$\text{ただし } R=\sqrt{\frac{1-\alpha}{2}}, \frac{x}{a}=\cos \phi.$$

また $a^2-2b^2>0$ のときは下記式で

$$x=\sqrt{\frac{a^2-b^2}{2}}\left\{2E(\phi, R)-F(\phi, R)\right\} \quad \cdots \cdots (8)$$

$$R=\frac{1}{\sqrt{2(1-b^2/a^2)}}, \frac{x}{a}=\cos \phi.$$

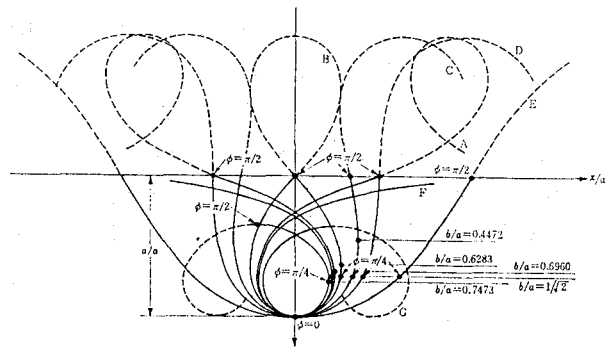


Fig. 4

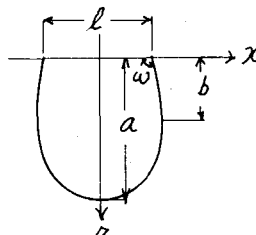


Fig. 5

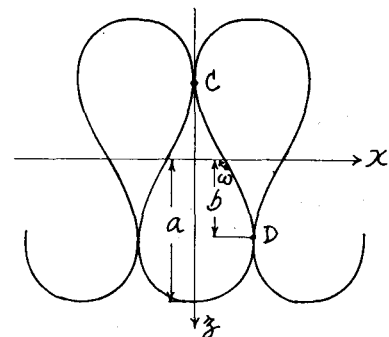


Fig. 6

蛇行の限界における8字形の曲線では $\omega = 130.68^\circ$ である。

Fig. 6 のように同じ曲線が繰り返すときの蛇行の限界では $b/a = 0.562$, $\omega = 117.54^\circ$, $l/a = 0.3760$ となる。このとき C, D 間で

は曲線が接觸することになる。

蛇行曲線の l/a と ω との関係を求めると Fig. 7 のようになる。

- 参考文献 -

1. W. B. Langbein and L. B. Leopold: River meanders $\frac{l}{a}$ - Theory of minimum variance, U.S. Geological Survey, 1966.
2. A. E. H. Love: A treatise on the mathematical theory of elasticity, Cambridge, 1934.
3. H. von Schelling: Most frequent particle path in a plane, Trans. A.G.U., 1951.
4. 木村喜代治: Hydrostatic curve の計算について, 第19回土木学会年次講演会概要集, 1962.

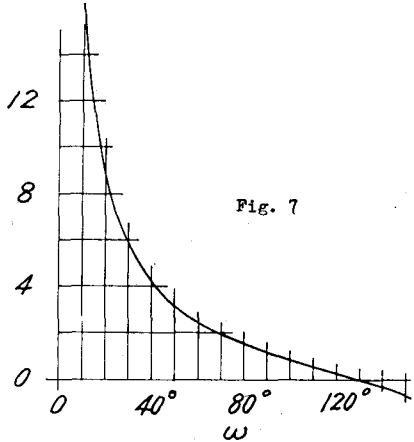


Fig. 7